

УДК 532.526.4.629.735.33

© 1998 г. В.М. ФИЛИППОВ, Г.К. ШАПОВАЛОВ

## **ИССЛЕДОВАНИЕ СОСТОЯНИЯ ПОГРАНИЧНОГО СЛОЯ В БЛИЗИ ЛИНИИ РАСТЕКАНИЯ НА СКОЛЬЗЯЩЕМ КРЫЛЕ И ВОЗМОЖНОСТИ ЕГО ДЕТУРБУЛИЗАЦИИ**

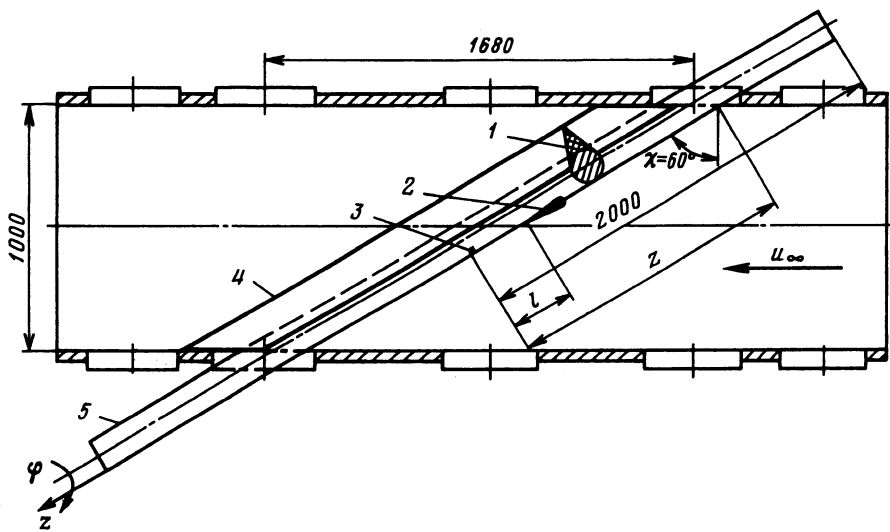
Представлены результаты экспериментальных исследований влияния турбулентности от фюзеляжа, попадающей на переднюю кромку стреловидного крыла, на состояние пограничного слоя. Изучена возможность ослабления ее турбулизирующего воздействия. Определены критерии ламинарно-турбулентного перехода.

Область течения у передней кромки стреловидного крыла является важным участком обтекания модели, который во многом определяет все дальнейшее развитие течения, в том числе состояние пограничного слоя вниз по потоку. На передней кромке сконцентрированы и проявляются в своих максимальных значениях силы различного происхождения – центробежные, давления, вязкие, которые определяют ламинарно-турбулентный переход. В соответствии с современными представлениями в пограничном слое на стреловидном крыле можно выделить несколько механизмов перехода в турбулентное состояние, проявляющихся либо по отдельности, либо в сочетании, в зависимости от геометрии крыла и условий его обтекания. Кроме перехода, связанного с развитием волн Толлмина – Шлихтинга, сюда входят: неустойчивость, вызванная поперечным течением в пограничном слое, неустойчивость Тейлора – Гёртлера на вогнутых участках поверхности, переход после ламинарного отрыва и на линии растекания вблизи передней кромки, вызываемый, например, турбулентным "загрязнением", т.е. турбулентными возмущениями, попадающими на переднюю кромку крыла от примыкающего к нему фюзеляжа. Пограничный слой на нем турбулентный и является источником этих возмущений, которые при определенных обстоятельствах могут турбулизировать пограничный слой стреловидного крыла. Последний из перечисленных механизмов перехода является наименее исследованным и в то же время он может стать решающим в общей проблеме, поскольку посредством его будет генерироваться турбулентность уже на передней кромке крыла.

В настоящей статье представлены результаты по экспериментальному исследованию течения на передней кромке цилиндра, расположенного под углом скольжения  $\chi = 60^\circ$ , с креплением в боковых стенках рабочей части аэродинамической трубы, с которых на переднюю кромку цилиндра набегал турбулентный пограничный слой.

Целью работы является изучение состояния пограничного слоя на наветренной стороне цилиндра в зависимости от числа  $Re$  набегающего потока в условиях малотурбулентной аэrodинамической трубы ЦАГИ и возможности его детурбулизации.

В [1] получено критическое число  $Re_\theta$ , вычисляемое по толщине потери импульса пограничного слоя на линии растекания  $\theta$ , порядка 100 для диапазона угла скольжения (стреловидности)  $\chi = 40\text{--}60^\circ$ . Предложен механизм детурбулизации течения, использующий некоторый барьер для предотвращения распространения корневой турбулентности на переднюю кромку. С помощью этого барьера, размещенного на линии растекания, удалось увеличить критическое число  $Re_\theta$  до 170. В [2] применено вытягивание передней кромки (уменьшение радиуса передней кромки и тем самым – толщины

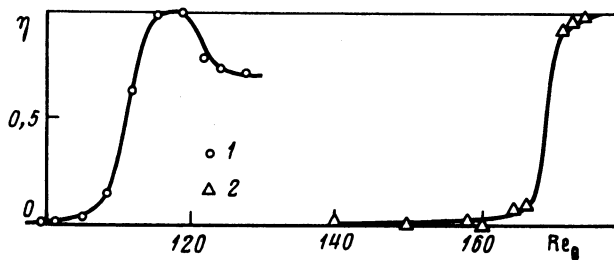


Фиг. 1. Вид сверху исследуемой модели в рабочей части аэродинамической трубы:  
1 – поперечное сечение модели; 2 – детурбулизатор (наплыв); 3 – термоанемометрический датчик; 4 – неподвижная клиновидная часть модели; 5 – подвижная цилиндрическая часть

пограничного слоя на линии растекания и, следовательно,  $\theta$ ). Использованы также перегородки для предотвращения растекания турбулентного течения вдоль передней кромки. Управление пограничным слоем на линии растекания путем отсоса через поперечные щели было также успешно применено на самолете X-21 [2].

**1. Экспериментальное оборудование и методика измерения.** Представленные исследования проведены в дозвуковой малотурбулентной аэродинамической трубе Т-124 ЦАГИ с рабочей частью размерами  $1 \times 1 \times 4$  м<sup>3</sup>. Степень турбулентности набегающего потока не превышала 0,06% во всем диапазоне скоростей (0–100 м/с). Модель представляла собой цилиндр диаметром 0,108 м и длиной 4 м, который состыковывался с хвостовой клиновидной частью так, что цилиндрическая часть модели могла свободно двигаться относительно неподвижной хвостовой части вдоль и вокруг своей оси, как это показано на фиг. 1. Такая конструкция модели, по сути модели-координатника, позволила обходиться без специального координатного устройства, котороеискажало бы поток и тем самым влияло на точность измерений в такой чувствительной зоне, какой является передняя кромка цилиндра с толщинами пограничного слоя порядка долей миллиметра. Диаметр цилиндрической части модели выбран так, чтобы для диапазона скоростей трубы находиться в области чисел  $Re$ , при которых еще не наступал переход, вызываемый неустойчивостью поперечного потока, но чтобы в этом же диапазоне чисел  $Re$  уже смог произойти переход на линии растекания из-за турбулизации пограничного слоя на передней кромке потоком, натекающим на нее со стенки аэродинамической трубы. При диаметре цилиндра 108 мм (все размеры на фигурах даны в миллиметрах) и его установке под углом скольжения  $\lambda = 60^\circ$  в реализуемом в аэродинамической трубе диапазоне скоростей достигались как раз необходимые порядки чисел  $Re$ .

Цилиндрическая подвижная часть модели проходила сквозь боковые стенки рабочей части аэродинамической трубы (без протекания), хвостовая неподвижная часть модели жестко крепилась к боковым стенкам (фиг. 1). Такая конструкция позволяла исследовать всю поверхность цилиндрической части модели всего лишь одним датчиком. Во всех измерениях при исследовании состояния пограничного слоя на цилиндре использовался термоанемометрический датчик в комплекте с термоанемометром постоянной температуры фирмы DISA-55DOI. Средняя и пульсационная составляющие выходного сигнала



Фиг. 2. Определение ламинарно-турбулентного перехода при  $z = 956$  мм,  $\phi = 0^\circ$ : 1 – без детурбулизатора; 2 – с детурбулизатором

термоанемометра измерялись цифровым вольтметром с оптимальным временем усреднения. Параллельно сигнал расшифровывался с помощью спектроанализатора и записывался на графопостроителе. Вся использовавшаяся анализирующая аппаратура производства фирмы "Solartron-Schlumberger". Термоанемометрический датчик был накладного типа, его чувствительный элемент выполнен из омедненной вольфрамовой проволоки диаметром 4,5 мкм, которая припаивалась к никелевой фольге толщиной 5 мкм, наклееной на поликарбонатную пленку толщиной порядка 40 мкм. Пленка крепилась в заданной точке поверхности модели. Электропровода от датчика выводились во внутрь модели через отверстие в ее поверхности, располагавшееся ниже по потоку от датчика. Его конструкция обеспечивала установку в любой точке модели без предварительного препарирования при достаточно высокой чувствительности и доступности изготовления. Высота расположения чувствительного элемента по отношению к поверхности модели не превышала 0,1 мм.

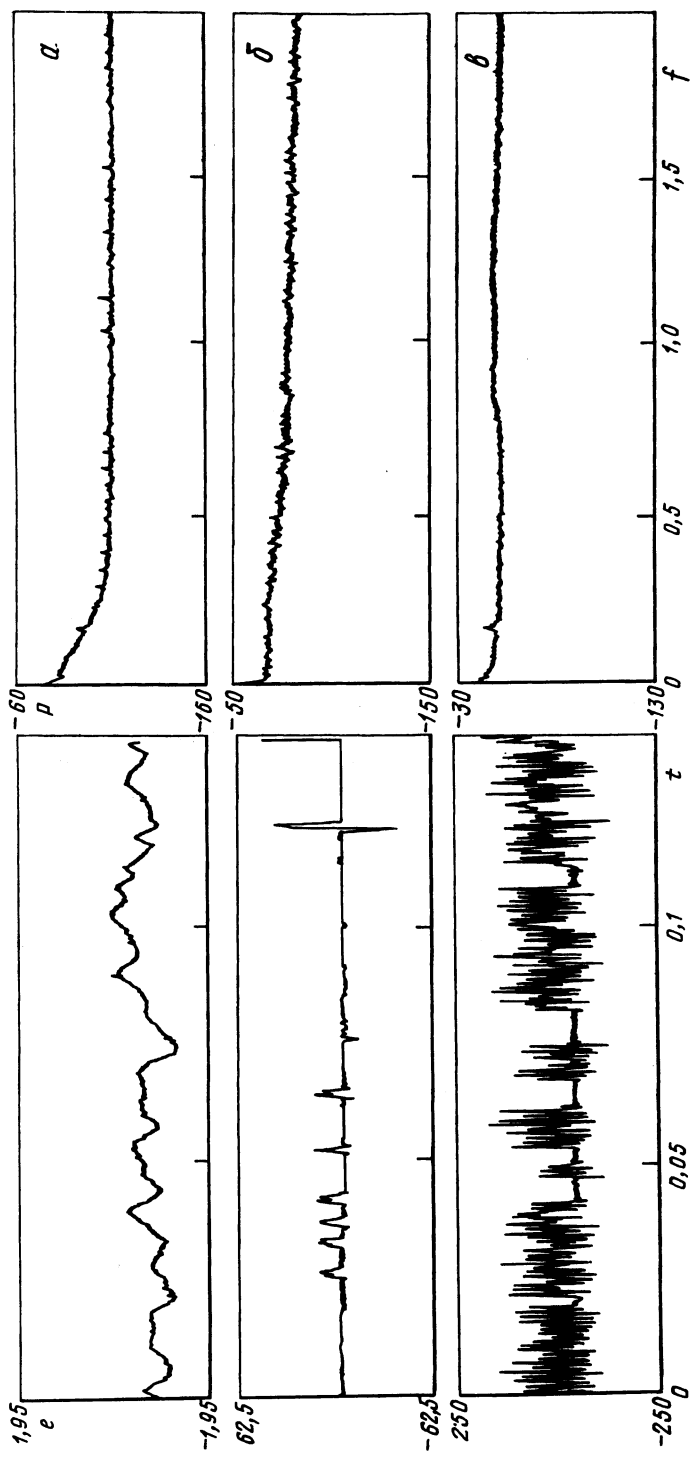
Состояние пограничного слоя определялось по методике, связанной с измерением среднеквадратичных значений пульсаций напряжения на термонити, а также с непосредственной расшифровкой сигнала с помощью спектроанализатора. Резкое нарастание среднеквадратичных значений пульсаций напряжения на термонити  $e$ , соответствовало началу перехода. Типичный рабочий материал данной методики представлен на фиг. 2, где по оси ординат отложена величина  $\eta = e/e_{\max}$ . На осциллограммах начало перехода определяется появлением первых турбулентных пятен (типичные осциллограммы и спектры ламинарного, переходного и турбулентного течений представлены на фиг. 3).

Эксперимент проводился в следующей последовательности. Исследовалось состояние пограничного слоя на линии растекания модели, а также в ее окрестности. Измерения проводились в четырех сечениях модели на расстоянии  $z = 250, 510, 956$  и  $1530$  мм от стенки рабочей части аэродинамической трубы по образующей (фиг. 1) и на различных широтах по углу  $\phi$  от линии растекания. Для этого цилиндр с термоанемометрическим датчиком передвигался вдоль своей оси (сквозь стенки рабочей части аэродинамической трубы) и вращался вокруг своей оси.

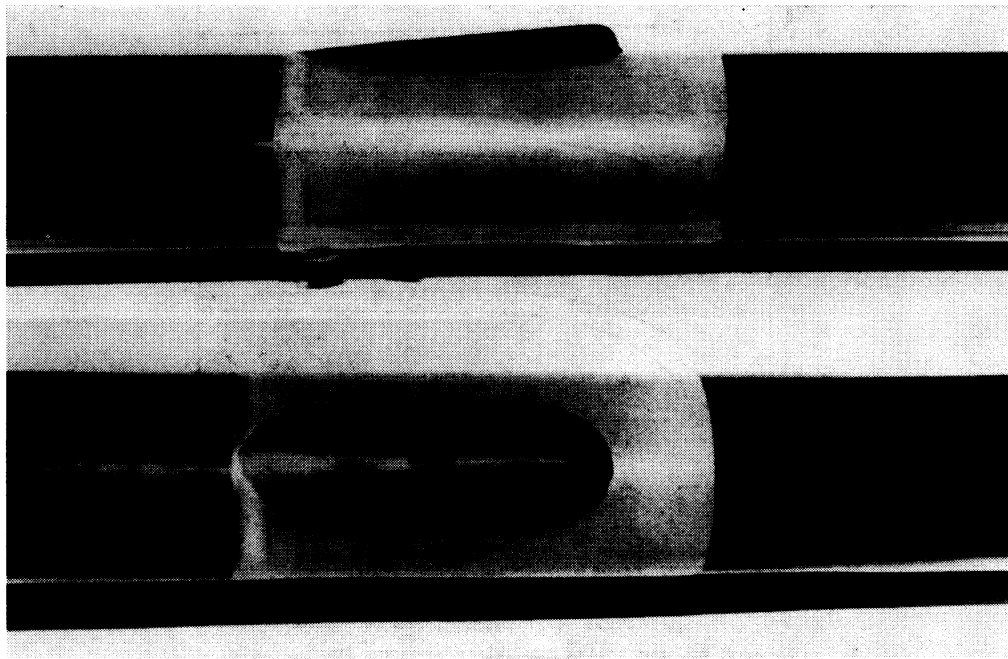
Далее был проведен анализ состояния пограничного слоя на линии растекания на модели при наличии детурбулизатора.

Применяемый детурбулизатор является аналогом использованного в [1]. Его вид и размеры, которые легко восстанавливаются по известному диаметру цилиндрической части модели, приведены на фиг. 4. Для удобства перемещения относительно термоанемометрического датчика детурбулизатор, выполненный из пластилина, крепился на пленку, облегающую цилиндр и перемещаемую по его поверхности.

Была определена детурбулизирующая способность обтекателя (детурбулизатора) в зависимости от его положения относительно источника турбулентных возмущений (стенки аэродинамической трубы). В процессе эксперимента изменялись расстояние  $z$  от обтекателя до стенки вдоль линии растекания и угол отклонения обтекателя от линии растекания  $\phi$ . Нужное положение обтекателя достигалось перемещением цилиндрической части модели вдоль и вокруг оси цилиндра. Обтекатель и контро-



Фиг. 3. Осциллограммы для  $\epsilon(\text{мВ})$  от  $f(\text{кГц})$  и спектры для  $P(\text{дБ})$  от  $f(\text{кГц})$ , характеризующие состояние пограничного слоя на линии растекания при  $z = 956 \text{ мм}$  и  $\phi = 0^\circ$ :  $a$  – ламинарное,  $e$  – переходное,  $g$  – турбулентное



Фиг. 4. Вид сбоку и сверху на детурбулизатор

лирующий термоанемометрический датчик находились друг относительно друга на постоянном расстоянии  $l$  при всех перемещениях цилиндра.

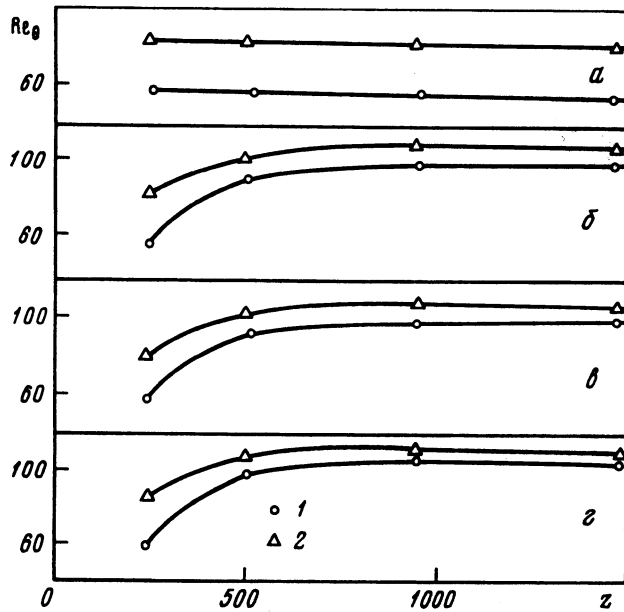
При исследовании дальнодействия детурбулизатора он оставался на постоянном расстоянии от стенки аэродинамической трубы, находясь все время на линии растекания, в то время как контролирующий термоанемометрический датчик удалялся на разные расстояния  $l$  от детурбулизатора по линии растекания и отклонялся от нее на различные углы  $\varphi$ . Этот процесс осуществлялся также передвижением цилиндрической части модели вдоль и вокруг оси цилиндра и перемещением пленки, на которой был укреплен детурбулизатор, относительно цилиндра.

**2. Результаты эксперимента.** Экспериментальные данные представлены на фиг. 5 в виде зависимости  $Re_{\theta_{tr}}(z)$ , где число  $Re_{\theta_{tr}}$  соответствует началу перехода на линии растекания, вызываемого турбулентным загрязнением со стенок аэродинамической трубы;  $z$  – расстояние от термоанемометрического датчика, контролирующего состояние пограничного слоя на всей цилиндрической части модели, до стенок аэродинамической трубы. Число  $Re_\theta$  вычисляется по толщине потери импульса ламинарного пограничного слоя  $\theta$  на линии растекания

$$Re_\theta = \frac{\theta U_\infty \sin \chi}{v}$$

Здесь  $U_\infty$  – скорость набегающего потока,  $\chi$  – угол стреловидности,  $v$  – кинематическая вязкость. В связи с трудностью экспериментального определения величины  $\theta$  (из-за чрезвычайной малости толщины пограничного слоя на линии растекания) использована формула для числа  $Re_\theta$  [3]

$$Re_\theta = 0,404 \left( \frac{U_\infty r \operatorname{tg} \chi \sin \chi}{2v} \right)^{1/2}$$

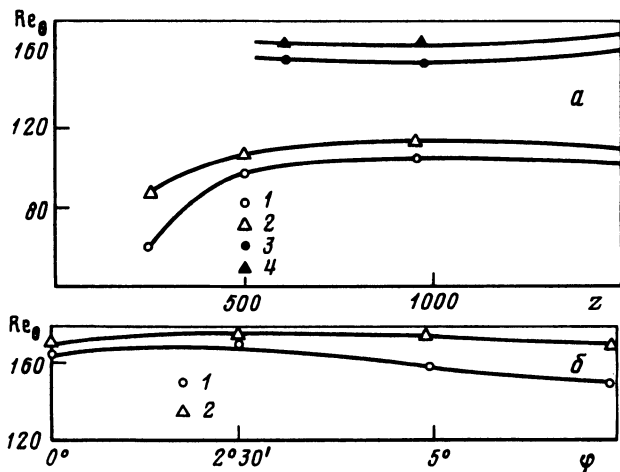


Фиг. 5. Распределения  $Re_\theta$  в зависимости от  $z$  в окрестности передней кромки крыла для значений углов  $\phi = 90, 60, 30, 0^\circ$  (a–d); 1, 2 – начало и конец области перехода

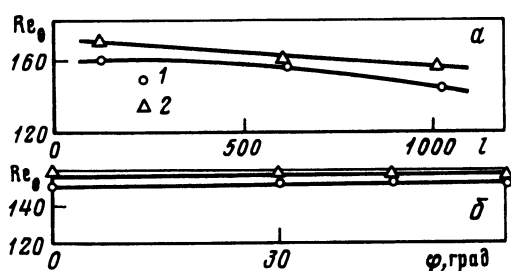
которая получена для течения на линии растекания модели с цилиндрической носовой частью радиуса  $r$ .

Число Рейнольдса перехода  $Re_{\theta_{tr}}$ , как видно из фиг. 5, на линии растекания при малых  $z$  зависит от расстояния до стенки, с которой на переднюю кромку цилиндра стекает турбулентное загрязнение, но уже примерно с 5 калибров эта зависимость практически исчезает и переход далее происходит при разных углах  $\phi$  при одном и том же числе  $Re_{\theta_{tr}} \sim 105$  (фиг. 5). Полученные данные показывают, что переход начинался на линии растекания, а не процессами перехода в поперечном потоке (в противном случае переход должен был зависеть от  $\phi$ ). Осциллограммы и спектры пульсационных составляющих напряжения на термонити, представленные на фиг. 3, характеризуют состояние пограничного слоя в исследуемой области. На них мгновенные значения напряжения соответствуют мгновенным значениям пульсационной составляющей скорости. В диапазоне чисел  $Re_\theta$  от 150 до 170 происходит качественное перестроение течения от чисто ламинарного ( $Re_\theta = 158$ , коэффициент перемежаемости  $\gamma = 0$ ) через переходное ( $Re_\theta = 165$ ,  $\gamma > 0$ ) к турбулентному ( $Re_\theta = 172$ ,  $\gamma \sim 1$ ). Так же происходит перестроение спектральных характеристик  $P(f)$  от чисто ламинарных (фиг. 3, a) к типично турбулентным (фиг. 3, b). Такие осциллограммы и спектры получены в различных сечениях цилиндра при нескольких значениях  $\gamma$  без детурбулизатора и при наличии его. Из экспериментальных данных определены основные количественные результаты по переходу в окрестности линии растекания на передней кромке крыла.

Зависимость числа Рейнольдса перехода  $Re_{\theta_{tr}}$  от  $z$ , но уже при использовании детурбулизатора, представлена на фиг. 6, a. Для сравнения там же помещены данные по переходу без применения детурбулизатора. Видна высокая эффективность влияния применяемого устройства. Число Рейнольдса перехода  $Re_\theta$  увеличивается от 105 до 170. Из фиг. 6, a видно, что при  $z \geq 500$  мм детурбулизирующее воздействие обтекателя сохраняется неизменным. Влияние детурбулизатора на течение при его положении не только на линии растекания, но и при разных значениях угла его поворота (исследования проведены до  $7^\circ 30'$ ) от линии растекания показано на фиг. 6, б. Такая



Фиг. 6. Распределения  $Re_\theta$  в окрестности передней кромки крыла: а – в зависимости от  $z$  при  $l = 120$  мм, 1, 2 – ламинарное и турбулентное течение без детурбулизатора, 3, 4 – ламинарное и турбулентное течение с детурбулизатором; б – от угла расположения детурбулизатора  $\varphi$  при  $z = 1520$  мм, 1, 2 – ламинарное и турбулентное течение



Фиг. 7. Зависимости  $Re_\theta$  от долготы  $l$ , мм (а) и широты  $\varphi$  (б): 1, 2 – ламинарное и турбулентное течение

ситуация достигалась простым вращением цилиндра вокруг своей оси последовательно на  $2^{\circ}30'$ ,  $5^\circ$  и  $7^{\circ}30'$ . Взаимное расположение датчика и детурбулизатора здесь не менялось, расстояние между ними  $l = 120$  мм и при развороте цилиндра датчик и детурбулизатор поворачивались на одинаковый угол синхронно. При небольших углах поворота детурбулизатора относительно линии растекания, как видно из фиг. 6, б, его детурбулизирующее воздействие сохраняется, хотя, конечно, с увеличением этого угла полезное воздействие постепенно уменьшается.

Результаты влияния дальнодействия детурбулизатора представлены на фиг. 7. Детурбулизатор оставался на линии растекания на расстоянии, примерно равном 400 мм от стенки аэродинамической трубы, в то время как контролирующий состояния пограничного слоя термоанемометрический датчик перемещался на различные расстояния  $l$  от детурбулизатора и углы  $\varphi$  от линии растекания. Таким образом, обследовался весь шлейф течения за детурбулизатором. Из приведенных данных следует, что дальнодействие детурбулизатора хорошо сохраняется как по долготе  $l$ , так и по широте  $\varphi$ .

**Заключение.** В результате проведенных экспериментов показано, что при числах  $Re_\theta \leq 10^2$  распространяющиеся от стенки рабочей части вдоль передней кромки крыла

возмущения затухают и на всей ее длине сохраняется ламинарный пограничный слой. При больших числах  $Re_\theta$  в пограничном слое модели устанавливается турбулентный режим течения. Применение на носовой части модели удобообтекаемого наплыва препятствовало распространению возмущений вдоль передней кромки и ламинарное обтекание сохранялось до чисел  $Re_\theta \sim 165$ . Детурбулизирующее воздействие наплыва имело место на всей передней кромке ( $-90^\circ \leq \phi \leq 90^\circ$ ) по всему размаху. При изменении положения наплыва относительно линии растекания в пределах  $-7^\circ 30' \leq \phi \leq 7^\circ 30'$  его детурбулизирующий эффект сохранялся.

#### СПИСОК ЛИТЕРАТУРЫ

1. Gaster M. On the flow along swept leading edges // Aeronaut. Quart. 1967. V. 18. Pt. 2. P. 165–184.
2. Pfenninger W. Preliminary note about an experimental verification of the turbulent spanwise contamination on a swept wing in the Northrop 8 × 11 foot wind tunnel // Northrop Norair Memorandum. 1963. № 3850-362. P. 26–48.
3. Poll D.I.A. Transition in the infinite swept attachment line boundary layer // Aeronaut. Quart. 1979. V. 30. Pt. 4. P. 607–629.

Москва

Поступила в редакцию  
27.I.1997